

05

## О зарождении дислокационной петли несоответствия в квантовой точке

© А.Л. Колесникова, А.Е. Романов

Институт проблем машиноведения РАН, С.-Петербург

T-mail: ankolesnikova@yandex.ru

Физико-технический институт им. А.Ф. Иоффе РАН, С.-Петербург

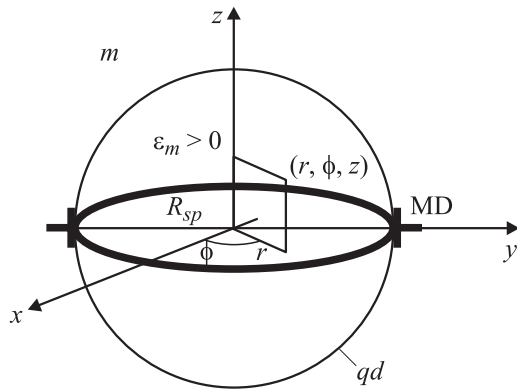
E-mail: aer@mail.ioffe.ru

Поступило в Редакцию 31 июля 2003 г.

Рассмотрен энергетический критерий зарождения круговой призматической дислокационной петли несоответствия в сфероидальном включении, моделирующем квантовую точку. Получена зависимость критического радиуса включения, в котором возможно зарождение петли, от величины несоответствия между кристаллическими решетками включения и матрицы.

Зарождение дислокации несоответствия (ДН) служит доминирующим механизмом релаксации упругих напряжений, возникающих в тонких гетерозитаксиальных пленках из-за рассогласования кристаллических решеток пленки и подложки [1]. Хорошо известно, что зарождение ДН происходит при превышении толщины пленки  $h$  некоторого критического значения  $h_c$ , зависящего от деформации несоответствия  $\varepsilon_m$ . Подобное явление должно иметь место и в случае упруго напряженных квантовых точек. Целью данной работы является выявление условий зарождения ДН в малом напряженном включении, моделирующем квантовую точку. Отметим, что данная простая задача до сего времени не была поставлена и решена. Для когерентных островков на подложках, т. е. на стадии зарождения квантовых точек, был предложен ряд моделей зарождения дислокации несоответствия [2,3]. Однако они основывались на решении двухмерных задач и поэтому были приближенными.

Упругие деформации и напряжения в квантовых точках вызывают существенные изменения их свойств. Так, однородные упругие деформации изменяют ширину запрещенной зоны [4], а неоднородные упругие поля ДН могут оказывать влияние на оптические свойства материала с квантовыми точками [5].



**Рис. 1.** Квантовая точка с дислокацией несоответствия.  $qd$  — квантовая точка,  $MD$  — дислокация несоответствия,  $m$  — матрица,  $\varepsilon_m$  — параметр несоответствия.

В качестве модели квантовой точки выберем сфероид радиуса  $R_{sp}$  с заданной пластической изотропной дилатацией, внедренный в материал матрицы (рис. 1). Математически дилатация может быть описана с помощью следующего тензора пластической дилатации [6]:

$$\beta_{xx}^* = \beta_{yy}^* = \beta_{zz}^* = \varepsilon_m \delta(\Omega_{sp}), \quad (1)$$

где  $\varepsilon_m = \frac{a_{sp} - a_m}{a_m}$  — параметр несоответствия между включением и средой,  $a_{sp}$  — параметр кристаллической решетки сфероида,  $a_m$  — параметр кристаллической решетки матрицы,  $\delta(\Omega_{sp})$  — дельта-функция Дирака для области  $\Omega_{sp}$ , занимаемой сфероидом, определяется следующим образом:

$$\delta(\Omega_{sp}) = \begin{cases} 1, & \mathbf{r} \in \Omega_{sp} \\ 0, & \mathbf{r} \notin \Omega_{sp} \end{cases}.$$

Знак параметра  $\varepsilon_m$  соответствует характеру дилатации:  $\varepsilon_m > 0$  соответствует расширению,  $\varepsilon_m < 0$  — сжатию.

Упругие напряжения и энергия включения с дилатацией (1) хорошо известны и для изотропного упругого тела могут быть выражены через элементарные функции [6,7]. Напряжения внутри включения постоянны

и равны:

$$\sigma_{rr}^{(in)} = \sigma_{\varphi\varphi}^{(in)} = \sigma_{zz}^{(in)} = -\frac{4G\varepsilon_m(1+\nu)}{3(1-\nu)}, \quad (2)$$

где  $(r, \varphi, z)$  — цилиндрическая система координат (рис. 1),  $G$  — модуль сдвига,  $\nu$  — коэффициент Пуассона.

Энергия включения есть

$$E_{sp} = \frac{8\pi(1+\nu)}{3(1-\nu)} G\varepsilon_m^2 R_{sp}^3. \quad (3)$$

При выводе (2) и (3) мы пренебрегли различием упругих свойств материалов включения и матрицы.

Уместно предположить, что для уменьшения упругой энергии включения (3) в нем зарождается призматическая дислокационная петля несоответствия (на рис. 1 обозначена как MD — misfit dislocation). Она расположена на поверхности частицы. Энергия включения с петлей ДН должна оказаться меньше исходной энергии включения, что задает следующий энергетический критерий зарождения петли:

$$E_{sp} \geq E_{sp} + E_{loop} + W, \quad (4)$$

где  $E_{loop}$  — энергия дислокационной петли,  $W$  — энергия взаимодействия петли и сфероида.

Собственная упругая энергия призматической петли, имеющей величину вектора Бюргерса  $b$ , радиус  $a$  в приближении  $a \gg b$  описывается формулой [8]:

$$E_{loop} \approx \frac{Gb^2a}{2(1-\nu)} \left( \ln \frac{8\alpha a}{b} - 2 \right), \quad (5)$$

где параметр  $\alpha$  учитывает вклад энергии ядра дислокации; для неметаллов принимают  $\alpha \approx 4$  [9].

В общем виде энергия взаимодействия двух дефектов определяется из соотношений [6]:

$$W = - \int_{\Omega_I} \beta_{ij}^{*I} \sigma_{ij}^{II} dV = - \int_{\Omega_{II}} \beta_{ij}^{*II} \sigma_{ij}^I dV, \quad (6)$$

где  $\Omega_I, \Omega_{II}$  — области, занимаемые дефектами I и II соответственно,  $\beta_{ij}^{*I}, \beta_{ij}^{*II}$  — пластические дисторсии дефектов,  $\sigma_{ij}^I, \sigma_{ij}^{II}$  — упругие напряжения, создаваемые дефектами.

Пластическая дисторсия призматической петли, расположенной в плоскости  $XOY$  (рис. 1), есть [6]:

$$\beta_{zz}^{*loop} = \pm bH \left(1 - \frac{r}{a}\right) \delta(z), \quad (7)$$

где верхний знак соответствует петле внедрения, а нижний — петле вычитания,  $\delta(z)$  — одномерная функция Дирака. На рис. 1 изображена ДН петля вычитания.

На основании выражений (2), (4)–(7) получаем следующий энергетический критерий зарождения дислокационной петли несоответствия на границе сферического включения и среды:

$$\frac{Gb^2 R_{sp}}{2(1-\nu)} \left( \ln \frac{32R_{sp}}{b} - 2 \right) - \frac{4\pi Gb\epsilon_m(1+\nu)R_{sp}^2}{3(1-\nu)} \leq 0, \quad (8)$$

где учтено, что для включения с расширением ( $\epsilon_m > 0$ ) ДН есть петля вычитания, имеющая радиус  $a = R_{sp}$ , при котором выигрыш в общей энергии системы „включение–ДН петля“ максимален.

Запишем выражение для критического радиуса включения  $R_c$ , при котором зарождается ДН петля, в следующем виде:

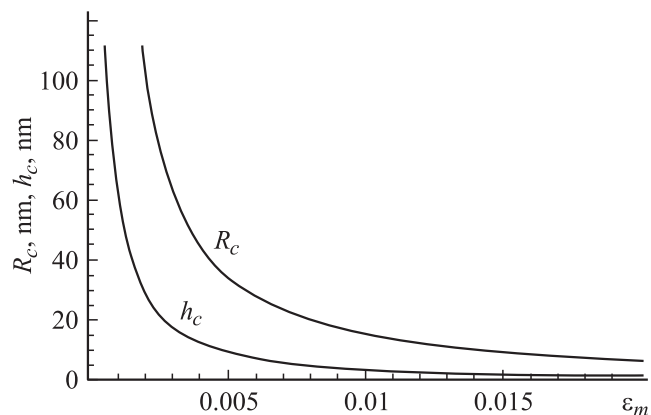
$$R_c = \frac{3b}{8\pi(1+\nu)\epsilon_m} \left( \ln \frac{1.08\alpha R_c}{b} \right). \quad (9)$$

Для сравнения приведем выражение для критической толщины пленки  $h_c$ , при которой зарождается краевая ДН [1], лежащая на гетерогранице и имеющая вектор Бюргера, параллельный границе [1]:

$$h_c = \frac{b}{8\pi(1+\nu)\epsilon_m} \left( \ln \frac{\alpha h_c}{b} \right). \quad (10)$$

На рис. 2 показана найденная из (9) зависимость критического радиуса включения  $R_c$ , при котором возможно зарождение петли несоответствия, от величины параметра несоответствия  $\epsilon_m$ . Зависимость  $h_c(\epsilon_m)$  (10) для простейшей геометрии расположения ДН в пленке также представлена на рис. 2. Видно, что при одном и том же параметре несоответствия  $\epsilon_m$  критический радиус включения  $R_c$  больше критической толщины пленки  $h_c$  в 3.5–4 раза.

Отметим, что механизмы образования дислокационных петель несоответствия могут быть как диффузионными, так и деформационными.



**Рис. 2.** Зависимости критического радиуса включения  $R_c$  и критической толщины пленки  $h_c$  от величины параметра несоответствия  $\epsilon_m$ . Графики построены для  $\nu = 0.3$ ,  $\alpha = 4$ ,  $b = 0.3$  nm.

Альтернативный механизм снижения энергии дилатационного включения может быть также связан с зарождением дислокационной петли в матрице снаружи включения [10].

Таким образом, получено выражение для критического радиуса включения, при котором зарождение ДН петли энергетически выгодно, в зависимости от параметра несоответствия кристаллических решеток включения и матрицы.

## Список литературы

- [1] *Beanland R., Dunstan D.J., Goodhew P.J.* // *Advances in Physics*. 1996. V. 45. N 2. P. 87–146.
- [2] *Pehlke E., Moll N., Kley A., Scheffler M.* // *Appl. Phys. A*. 1997. V. 65. P. 525–534.
- [3] *Tillmann K., Forster A.* // *Thin Solid Films*. 2000. V. 368. P. 93–104.
- [4] *Константинов О.В., Котельников Е.Ю., Матвеевцев А.В., Романов А.Е.* // *Письма в ЖТФ*. 2001. Т. 27. В. 18. С. 40–46.
- [5] *Chen X., Lou Y., Samia A.C., Burda C.* // *Nano Letters*. 2003. V. 3. N 6. P. 799–803.

- [6] *Mura T.* Micromechanics of defects in solids. Boston: Martinus Nijhoff Publishers, 1987. P. 587.
- [7] *Теодосиу К.* Упругие модели дефектов в кристаллах. М.: Мир, 1985. С. 352.
- [8] *Dundurs J., Salamon N.J.* // J. Phys. C. 1972. V. 50. P. 125–133.
- [9] *Хирт Дж., Лоте И.* Теория дислокаций. М: Атомиздат, 1972. С. 600.  
*Chen X., Lou Y., Samia A.C., Burda C.* // Nano Letters. 2003. V. 3. N 6. P. 799–803.
- [10] *Берт Н.А., Колесникова А.Л., Романов А.Е., Чалдышев В.В.* // ФТТ. 2002. Т. 44. № 12. С. 2139–2148.